

大潟海岸における海底摩擦係数と波浪特性との関係

京都大学防災研究所 正会員

工屋 義人

山口 正隆

京都大学大学院 学生会員 中村 俊一

1. 緒言：海岸波浪を適確に推定することの重要性は言うまでもないが、現在の波浪予知法は必ずしも十分な精度をもつものでない。その原因の1つとして、海底摩擦の特性があまり明確でないことがあげられる。そこで本研究では、大潟海岸での波浪観測結果に基づいて、有義波法と一波対応による方法によて海底摩擦係数を推定するとともに、波浪特性との関連を検討した結果について述べる。

2. 観測の概要および波の変形特性：京都大学防災研究所では、1972年および73年に大潟海岸において、オーナー島と呼ばれる長大橋に図-1に示すように9台の容量型波高計を配置して、波の変形などに関する観測を実施したが、ここではその観測結果を用いて解析を行なった。この海岸の水深変化は図-2に示すようにきわめて緩やかであるので、海底摩擦係数の推定に際しては一様水深を仮定した。図-3は橋に沿う有義波高の変化の一例を示したものであるが、この図より明らかかなように、波高が小さな場合には一様に減衰しているが、波高が大きくなると、減衰してから増大し再び減衰する傾向を示す。後者の傾向は、海底摩擦以外に碎波や反射などの影響が作用しているためと考えられるが、ここでは波高を減衰させすべての要因を海底摩擦でもおきかえることとし、観測結果を波高減衰の種類によって、一様に減衰するもの(A)と減衰したのち増大し再び減衰するもの(B)に区別し、さらに後者を一度目の減衰(B₁)と二度目の減衰(B₂)に区別して、海底摩擦係数の値を推定した。

3. 有義波法による海底摩擦係数の推定結果：水深がほぼ一様であり、また波高減衰には浸透や風の効果などより海底摩擦によるエネルギー損失が卓越すると仮定すれば、海底摩擦係数 f は、2点での波高の比より周知の Bretschneider および Reid による関係式で直接与えられる。しかし、多点での観測結果にこの式を適用した場合には、観測上あるいは読み取りの誤差のために結果のばらつきが大きくなるので、CW-1からCW-6の波高変化を最小自乗法によて近似し、波向をも考慮して f の値を推定した。図-4はその結果であり、 Re_T の関係を図示してある。図中の実線は、層流境界層による理論値を100倍にした曲線であり、 Re_T は波に関する Reynolds 数を表わし、 $Re_T = U_b T_b / \nu$ で定義した。ここに、 U_b ：海底における水平水粒子速度の最大値、 T_b ：有義波周期および ν ：動粘性係数である。この図より、資料B₁およびB₂によて推定された f はほぼ $Re_T^{-1/2}$ に比例して減少するが、その値は理論値の約200～800倍にもなるのに対し、資料Aによる結果はこれらよりかなり小さく、理論値の約100～400倍になることがわかる。また、岩垣らが同様橋で

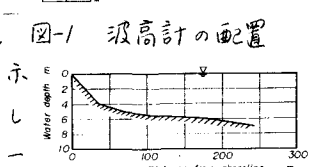
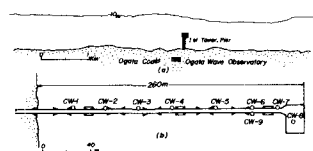


図-2 橋に沿う水深変化

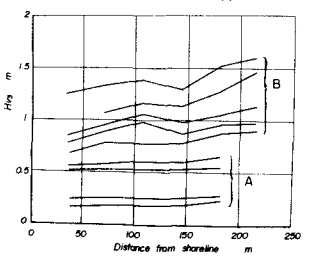


図-3 橋に沿う有義波高の変化

行な、た階段抵抗式波高計による観測結果を加えると、 f と R_{st} との関係はより顯著にあらわまる。すなわち、図-5 は資料 B による結果に岩垣らの観測結果から推定した結果をあわせて図示したものである。この図によれば、 R_{st} が約 2×10^6 までは f は R_{st} にはほぼ比例して減少し、 R_{st} がそれ以上になると f はほぼ一定値 0.2 ~ 0.6 になることがわかる。さらに、図-6 の資料は波の非線形性や碎波などの影響を検討するため、波高・水深比 H_0/h によって分類されていながら、資料のはらつきが大きく、この影響は明うかでないようである。これららの結果を岩垣らによる日本各地の海岸での推定結果と比較すると、その値は約 10 倍ほど大きい。これは、大潟海岸のようにきわめて浅い水深での波浪の変形機構が、海底摩擦のほか碎波、反射、波の分裂あるいは波の非線形干渉などに起因して、より深い海域で岩垣らが実施した観測結果と相違するためと考えられる。

4. 一波対応に基づく海底摩擦係数の推定結果：ここでは、うねりあるいはそれに近い波を記録紙の上で追って一波ごとの波高変化を調べ、それに基づいて f を求める方法により推定し波浪特性との関連を検討した結果について述べる。その 1 つは有義波法の場合と同様に、微小振幅波理論に基づいた最小自乗法により f を推定する方法であり、また他の 1 つは浅海での波の特性を考慮して、2 点間での波高的観測結果から、孤立波理論に基づいて f を推定する方法である。図-5 および 6 は、それを f の方法に基づいて推定した f と R_{st} の関係を示すものである。これららの図では、いずとも有義波法による推定結果より f と R_{st} との関係がかなり明確に表示されるが、図-6 の場合の f は図-4 の結果より若干大きい。これは、一波対応による方法で解析した資料の多くはその波高が有義波高よりも大きいために、碎波などの影響をより強く受けているためであると考えられる。また、図-7 の場合には、その値は平均的にほぼ 50% 程度になってしまおり、この結果は微小振幅波理論および孤立波理論のとくとくの特性を考えておれば当然のことといえよう。さうに、このような f と R_{st} との傾向は、Brebner らの振動流による摩擦係数の実験結果と比較的対応している。しかし、 f の値そのものはかなり大きくなる。これは、現地波浪の波高減衰には海底摩擦によるエネルギー損失のほかにも、碎波をはじめとする多くの要因があるためと考えられるので、今後これららの影響をできるだけ分離して検討を進める必要があると思われる。

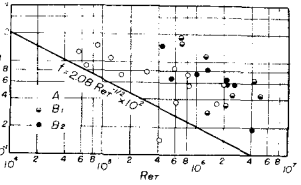


図-4 有義波法による f の推定結果

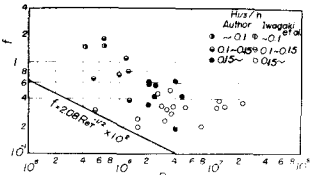


図-5 岩垣らの観測結果を加えた f の推定結果

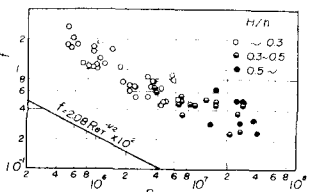


図-6 微小振幅波理論による f の推定結果

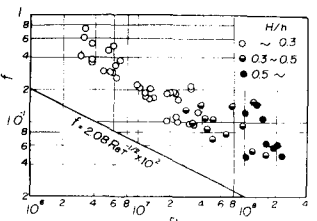


図-7 孤立波理論による f の推定結果